匿蹤與反匿蹤的理論基礎 一戰機 RCS量級估計

軍事專欄作家 楊政衛

提 要

本系列文章的第一篇「匿蹤與反匿蹤的理論基礎—匿蹤技術篇」提到匿蹤科技的基本原理,本文要進一步依據最基本觀念,估計各類匿蹤戰機的各種雷達反射截面積(RCS)的物理量級,以在無法取得機密的匿蹤技術數據情況下,粗估匿蹤戰機的性能量級,藉以探索匿蹤戰機適合的戰術以及反制方法。此外也有助於掌握不同的匿蹤措施對全機匿蹤性能的貢獻權重。

媒體公開的RCS值的陷阱與意 義

表一是美國Global Security.org網站公布的若干物體與飛機的RCS值¹、美國空軍公布數據²,以及俄國公布若干數據³,供讀者參考。除了美國空軍2005年11月公布的數據有強調是正面RCS之外,這些數據多是典型的媒體數據,並沒有具體指出是什麼情況的RCS(特定角度?特定角度範圍的平均?還是全機平均?),也沒有具體指出是針對什麼波段。此外,美俄資料來源的F-22的RCS值差距極大,沒有橫向比較意義,倒是從單一來源可以清楚看到不同飛機的匿蹤等級。例如

F-117與F-35的RCS比鳥還小,F-22與B-2甚至小於昆蟲!即使這些資料可能僅指特定狀況,但幾何面積上百平方米的戰機的RCS竟可小到與昆蟲比擬,無疑讓人更容易體會匿蹤技術的威力。

事實上,匿蹤技術是目前最尖端的軍事技術之一,是機密中的機密,因此除了研發者之外,根本不可能知道飛機真正的RCS值。例如鏡射RCS主要由外型決定,看起來似乎只要根據外形建立電腦模型就可以計算RCS值,而根據外型建模在模型界、航空界早就很常用。然而實際上,根據外形建模當然有誤差,幾毫米或是公分級的物差,外觀上不容易察覺,對氣動力的影響也有限⁴,但

- 1 Global Security.org http://www.globalsecurity.org/military/world/stealth-aircraft-rcs.htm
- 2 D.Jenn, 《RCS reduction (chapter 7)》, Naval Postgraduate school, Department of Electrical & Computer Engineering, Fall 2011. http://faculty.nps.edu/jenn/EC4630/RCSredux.pdf
- 3 «От истребителя к ракетоносцу», Голос России, 01.MAR.2010

	Global Security.org 網站數據	美國空軍2005年11月數據		俄國參考數據
	RCS (m2)		RCS (dB)	RCS (m2)
汽車	100		20	
B-52	100			
B-1(A/B)	10			
F-15	25			12
Su-27	15			12
Su-30MKI	4			
Mig-21	3			
MiG-29		5		
F-16	5			
F-16C	1.2			
人	1		0	
F-18	1			
Rafale	1			
B-2	0.75 ?			
EF-2000	0.5			
戰斧巡弋飛彈	0.5			
B-2	0.1 ?			
A-12/SR-71	0.01 (22 in^2)			
鳥	0.01		-20	
F-35 / JSF	0.005	0.0015	-30	
F-117	0.003			
昆蟲	0.001		-30	
F-22	0.0001	0.0001~0.0002 (正面)	-40	0.3~0.4
B-2	0.0001		-40	

表一 若干物體的RCS值參考表

資料來源: Global Security.org網站數據、美國空軍2005年11月數據、俄國參考數據

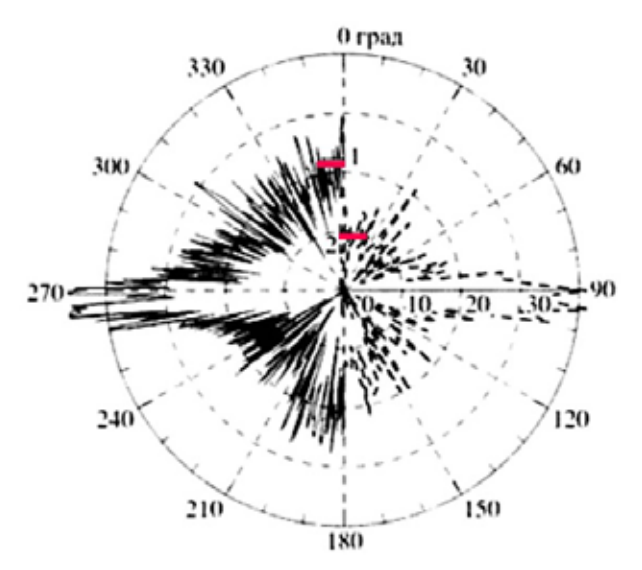
是對毫米波、X波段的RCS卻可能產生重大影響。因此不論用多精確的計算技術,只要沒有原廠精確的外型數據,就不可能算出精確的RCS。

其餘匿蹤技術牽涉到材料,這更是密中之密,就算有公布數據也只是大概。通常都只說降低一個量級或兩個量級。前文提到的奈米吸波塗料對0.8~10cm波段的吸收率為13~18dB,這已經是很細的數據了,但實際上,他只給了範圍,最佳吸收波段在哪裡卻

沒有說,也沒有說這是用多厚的塗層。

此外,RCS是有方向性的,在圓柱的RCS-方位關係圖就已經可以發現RCS隨方位忽大忽小的現象。真實飛機也是如此,如圖所示為Su-35在使用匿蹤技術前後的RCS分佈圖(圖一)。在未使用匿蹤技術時,其RCS分佈忽大忽小,幾乎都是在20~30平方米與0之間跳動。也就是說,就算是尚未做處理的Su-35這樣的非匿蹤戰機,也是有某些角度的RCS接近零的(嚴格說,是比最大值小好幾個量

4 原載於НПП Технология公司網站關於Su-47大面積複合材料之介紹。但資料隨網站更新而消失。



圖一 2003年時採用匿蹤技術前(左側黑線)與後(右 側虛線)的Su-35的RCS分佈圖,其中1與2分別 爲處理前後在正面+-30度範圍內的RCS平均 值。(資料來源: VRAN)

級),只是這些角度範圍太窄,使得平均起來 觀察到的都是不小的RCS。而匿蹤處理後, 擁有小RCS的角度範圍增加了,因此從那些 方位觀察就真的會觀察到比較小的RCS。

因此,當廠商公布自家飛機的RCS數值 時,可能會有不同標準。這可能是

一、最低RCS值:這個值可以當做匿蹤 技術等級的參考,但如前所述,就算是非匿 蹤戰機也會有RCS比最大值小好幾個量級的 方位,因此匿蹤戰機如果妥善設計,在加上 吸波塗料的作用,這個值當然可以小得很誇 張。

二、全機360度平均。如前所述,因為 能量守恆,所以匿蹤外型只是把回波集中在 少數方向,讓多數部位的RCS降低。然後再 佐以吸波塗料,進一步降低整機的RCS,但 仍然有峰值。理想的匿蹤戰機RCS峰值發生 在很窄的角度範圍,通常是在側面,以及正對著主翼前後緣的方位。敵機剛好落在這些方位的機率不高,就算有也是稍縱即逝,因此敵方大部分時候都觀察不到這些峰值。取平均值以後,平均值會被這些峰值拉高,因而顯現出遜於真實匿蹤表現的數據。因此非常好的匿蹤戰機如果只是公布全機平均RCS值,那其實有欺敵成分在。不過如果考慮大規模作戰,例如機群作戰,或是匿蹤戰機深入敵方防空縱深的情況,則匿蹤戰機實際上不是對付少數敵人,而是一口氣面對四面八方的探測設備,這樣一來,匿蹤戰機對敵方整個防空體系而言,RCS就應取平均值。

三、有限角度範圍的平均:如前所述, 匿蹤戰機的RCS也會有峰值,但是卻可以集 中在較窄的範圍。如果匿蹤戰機能搭配妥 善的預警系統與控制系統,盡可能以較小 的RCS的方位面對對手,那麼對手觀察到的 RCS平均值其實就是匿蹤戰機暴露給對方看 的方位的RCS平均值。例如最需要隱匿的階 段就是攻擊階段,也就是對前半球隱形,因 此前半球有限角度範圍的RCS平均,就是敵 方最容易觀察到的RCS。這一平均值的實用 意義很大,特別是在「少對少」戰況下。一 般來說,如果取平均值的角度範圍很大,平 均值又很低,就表示匿蹤性能越好。

但是,廠商通常不會具體的說所公布的 RCS是基於哪一標準。因此,除非是單一來 源一口氣講了若干飛機的RCS值,可以當做 彼此高下的參考外,不同資料來源的RCS值 實在難以比較。例如俄國T-50總設計師在闡 述T-50的匿蹤成果時說「Su-27與F-15的RCS 約是12平方米,F-22是0.3~0.4平方米,T-50 與F-22相當」,⁵就可以看做是同一標準下 的數據。然而這個數據比一些媒體報導的 F-22、F-35的RCS大了好幾個量級,例如美 國Global Security.org網站的資料顯示,Su-27 與F-15分別是15與25平方米,F-22與F-35分 別是0.0001與0.005平方米。⁶又根據美國空軍 2005年11月的數據,F-22的0.0001平方米應是 正面RCS值⁷。很顯然,T-50總設計師說的數 據跟美國空軍公布的數據差了近1,000倍,不 可能是同一標準。

吾人不妨從最基本的物理量出發,估計 匿蹤戰機RCS的量級。吾人無法查證機密的 匿蹤材料資料,但可以確定的是,任何再先 進的技術都不可能超過物理極限,這裡要估 計的,就是假設用了非常完美的匿蹤技術, 估算RCS的量級下限,並且估計每一個主要 成分貢獻的RCS量級,以便掌握每一種匿蹤 技術所能影響的程度有多少。

這裡算出來的RCS只是估計最小量級, 他當然不是具體的RCS值,但是可以幫助吾 人概略的判斷廠商所公布的數值是基於何種 條件?是否過度誇張?等等。

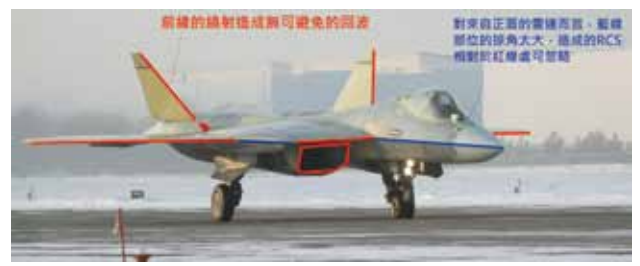
各部位RCS最小量級估計

一般飛機最主要的RCS來源是鏡射 RCS,但從圓柱的RCS-方位關係可以知道, 妥善設計的外型可以讓RCS降低至少好幾個 量級。既然鏡射RCS的變化那麼大,精細的外型數據又不可得,那在估算RCS的物理極限時不妨乾脆先假設鏡射RCS為0,僅估算其他成分的影響。最後再考慮鏡射的量級以進一步逼近真實。

一、邊緣繞射

無論外形如何設計,在機翼等邊緣一定會出現尺寸與波長相當的部分(例如邊緣幾公分對應X波段,邊緣幾公寸對應L波段),這些部分的RCS就可以用曲率半徑與波長相當的圓柱體去估計(因為就算不是圓柱體,其尺寸與波長相同時,具體形狀影響已不大),可以先估算這些邊緣部位的幾何截面積,然後根據其相對於雷達波的角度予以調整。這些邊緣包括主翼邊緣、平尾邊緣、垂尾邊緣、進氣口前緣、以及匿蹤飛機機身稜線邊緣等(圖二)。

以前半球為例(由機首指向算起0~+-90 度),要考慮的是主翼前緣、垂尾前緣、進氣 道前緣、平尾前緣、以及機首稜線。這裡要



圖二 邊緣無可避免的會有繞射,對來自正面的雷達波而言,又以翼前緣、進氣口影響爲最。 (資料來源:www.sukhoi.org)

- 5 《От истребителя к ракетоносцу》, Голос России, 01.МАК.2010
- 6 Radar Cross Section (RCS), http://www.globalsecurity.org/military/world/stealth-aircraft-rcs.htm
- 7 D.Jenn, 《RCS reduction (chapter 7)》, Naval Postgraduate school, Department of Electrical & Computer Engineering, Fall 2011. http://faculty.nps.edu/jenn/EC4630/RCSredux.pdf

軍事科技 ||||||

估算的是RCS的下限,匿蹤飛機的平尾通常被主翼遮蔽,可以先不算,機首稜線通常幾乎平行於主軸,除非是從側面(+-90度)否則其RCS遠小於主翼等部分,為了簡單也暫且忽略。這樣,就只需考慮主翼、進氣口與垂尾前緣。

估計繞射RCS量級的原則是:(1)找出對RCS有顯著「貢獻」的邊緣,將這些邊緣想像成曲率半徑與波長相當的圓柱,估計這些部分對所考慮波段的幾何截面積,(2)然後考慮雷達波約以45度角傾斜照射⁸(相當於來自正面的雷達波對主翼前緣等處的入射角)所以RCS平均較幾何截面積降一個量級,⁹(3)然後再考慮波長與尺寸相對關係可能造成的影響,將求出來的值分別降低與放大一個量級。換言之,估計出的RCS範圍在幾何截面積的0.01~1倍之間。由於估算時已經假設雷達波以45度角傾斜照射,相當於後掠角45度的飛機正面的情況,因此估計出來的數值大約是正面RCS值。然後以此數值為基礎可以再估計大角度範圍的RCS平均值範圍。

對波長3cm的X波段而言,上述部分可以視為口徑3cm的圓柱(圖三),圓柱長度為上述線條的總長,以雙發重型戰鬥機而言總長度約是20~30m(主翼與垂尾)+10m(進氣口),即共約30~40m,則其幾何截面積約為1平方米。從曲率半徑相當於波長的圓柱RCS-方位關係可知,RCS可能比幾何截面積大或小

一兩個量級,端視雷達入射方向而定。現代 戰機主翼掠角約40~60度,如果雷達波由飛 機正面入射(也就是與翼前緣法線夾40~60 度),RCS可能比幾何截面積小一個量級,那 便是0.1平方米級。如果是正對著主翼前緣入 射,那通常只會看到一邊的主翼與進氣口, 以及2片垂尾,那幾何截面積就約為0.5平方 米,RCS會比這大一兩個量級。如果從側面 入射,則也是只看到的一半的前緣,又考慮 傾斜入射,使得RCS約為0.05平方米。後半球 狀況也類似於正面。因此整體來說,雖然邊 緣的幾何截面積約1平方米,但考慮角度的影 響,除極值方向(正對著前緣)外,RCS量級在 0.1平方米上下。如果再考慮波長與尺寸、曲 率半徑的相對關係使RCS與上述值有數量級 的差距,那麼RCS會在0.01~1平方米之間。 若採用吸波塗料,RCS範圍分別降至10⁻³~ 10-1平方米(降低一個量級)或10-4~10-2平方米 (降低兩個量級)。

同理,如果是對波長20~30cm的L波段,邊緣的長度不變,但「等效圓柱」的口徑卻放大約10倍,因此RCS量級約是1平方米級,放寬考慮0.1~10平方米。

二、天線罩

目前最主要的探測波段是波長3cm~30cm的波段,因此戰機預警系統最主要也是針對這一波段,而為了有較高的預警精確度,天線會被分佈在四周,而天線的尺寸與

- 8 以翼前緣為例,與前緣平行的方向尺度遠大於波長,與前緣垂直的方向尺度相當於波長,因此邊緣回波行 為會類似線波源,故必須考慮掠角的影響。
- 9詳見本系列專文「匿蹤技術篇」,「圓柱的RCS-角度關係及其意義」段落的討論或參考本文圖8。

對應的波長必須相當,這就意味著戰鬥機身上會有許多尺寸在1~10cm級的「窗口」。這些窗口如果是完全電磁透明的,則僅僅是天線與電磁波的共振就會有很大的RCS,不論從前述的圓柱RCS-方位關係或是文獻資料10都可以知道,天線對相對應波段的RCS可能會比幾何截面積大一個量級以上。更何況天線罩內部的結構又會貢獻額外的RCS。

為了估算匿蹤性能的物理極限,這裡只 考慮已經採用匿蹤天線罩的情況。理想的匿 蹤天線罩的效果就是讓敵方雷達波在天線罩 表面就反射(圖四),但不能吸收之。因此, 如果翼前緣有一個長度10cm左右的天線罩, 其對3cm波長的RCS下限就是其前緣的繞射 RCS下限,那麼比照邊緣繞射RCS的估算 法,這個10cm長的天線罩的RCS的量級約是 3×10⁻⁴平方米級,放寬約3×10⁻⁵~3×10⁻³平方 米級。實際上天線數量很多,而且大部分又 會安裝在邊緣以獲得較好的視野,因此天線

曲率半徑與 波長同級的圖柱 機翼厚度 H=10~20cm (對戰機而言)

如圖所示為戰機翼剖面的前端。對戰機而言機翼厚度約 10~20cm。總是可以在前緣找到:

- 1.線性尺寸相當於波長的區塊
- 2.曲率半徑相當於波長的曲面
- 以上兩者都會造成與幾何外型無關的繞射回波
- 為了簡單的估計量級,把造成繞射的區塊以近似圓柱表示

圖三 邊緣可視爲曲率半徑與波長相當的圓柱 (資料來源:作者自製。) 實際RCS至少要比上述數值大幾倍。

從這裡可以發現,天線罩的RCS本來遠小於邊緣繞射,但由於天線罩一般來說不可能用吸波塗料,因此其會構成全機RCS的下限。舉個非常誇張的例子,假設有非常完美的匿蹤外型,使鏡射RCS為0(實際上當然不可能),然後再用吸收99%的塗料降低邊緣繞射的RCS,則「鏡射+繞射」的RCS下限約10⁻⁴平方米,然後再多塗一層塗料,或是外面再用電漿系統,再降100倍變成10⁻⁶平方米,看起來極為完美,然而此時為了實用,天線罩必須外露,則全機的RCS仍就是天線罩RCS的等級(3×10⁻⁵~3×10⁻³平方米)。

三、光電窗口

光電系統幾乎是現代戰機不可或缺的部 分,例如用於探測與射控的光電探測儀,以 及光電預警系統。

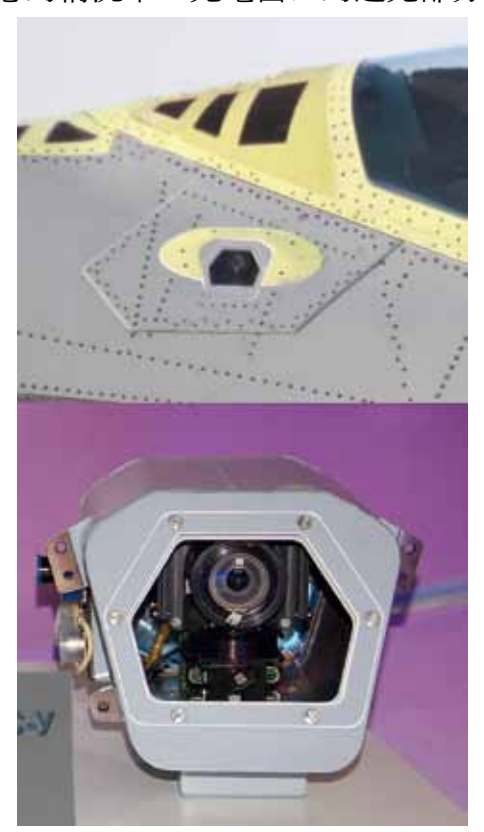
在沒有特殊處理的情況下,雷達波穿透 光電系統的窗口,打到內部結構然後反射。



10 А.Н. Лагарьков, М.А. Погосян, «ФУНДАМЕНТАЛЬНЫЕ И ПРИКЛАДНЫЕ ПРОБЛЕМЫ СТЕЛС-ТЕХНОЛОГИЙ», ВЕСТНИК РОССИЙСКОЙ АКАДЕМИИ НАУК, том 73, No 9, c. 848 (2003)

以前視光電探測儀而言,口徑數十公分,幾何截面積就是0.01~0.1平方米級。如果光電探測儀採用球狀整流罩,那麼其RCS就大約是幾何截面積,但這個部分可以用吸波塗料來降低。

如果是預警器,口徑通常小於10cm,幾何截面積約0.01平方米級。但光電窗口有機會採用特殊材料,隔絕雷達波,而且預警器可以像F-35或T-50採用埋入式設計(圖五~六),這種情況下,雷達波未必可以照射到感測器內部,RCS可望大幅降低。但即使在最理想的情況下,光電窗口的透光部分與外



圖五 T-50-4座艙邊的101KS-U-01。下爲MAKS2011 展出的101KS-U特寫,當時還沒整合雷射接 收器。

(資料來源:www.sukhoi.org作者整理)

框的交界、或是外框與飛機表皮不完全平滑的融合,例如F-35的DAS或T-50的101KS-U那樣,對X波段或是毫米波段而言就可能出現邊緣繞射。光學窗口的周長一般在幾十公分,因此RCS難免與匿蹤天線單相當。而對L波段而言,光學預警器通常可以視為與表皮平滑的融合,但射控用的光電探測儀通常一定會凸起,不論是一般的球狀整流罩,或是F-35上稜稜角角的造型,其尺寸都是數十公分,相當於L波段波長,這時其就會發生繞射,匿蹤外型幫助有限。因此像T-50、F-35這樣有外露光電探測儀的飛機,RCS的下限可能會被前視光電探測儀制約。

只是光電探測儀可以用吸波塗料,必要 時也可以採用可收納設計,因此其RCS有機 會降得比天線罩還低,端視具體設計。

四、其他感測器

如果飛機有外露的感測器,如大氣數 感測器,這些感測器的尺寸與曲率半徑剛好 都是幾公分範圍,其幾何截面積約0.0001~ 0.001平方米級,但由於尺寸與波長太接近,





圖六 機首下方與尾刺上方各有一組101KS-U-02, 分別負責下半球與上半球。

(資料來源:www.sukhoi.org作者整理)

可能出現共振放大效應, 使得RCS可能是幾何截面積的10~100倍,這樣一來,幾根大氣數據感測器的RCS有可能達到0.01~0.1平方米級,對理想匿蹤飛機來說這已經相當於全機總合。因此如果有外露的大氣數據感測器,則其RCS會制約全機RCS的下限。

例如Su-35S雷達罩兩側就有露出幾根大氣數據感測器(圖七),尺寸就是若干公分,僅僅這幾根外凸物的RCS就在0.01~0.1平方米級。對Su-35S這種非匿蹤戰機而言這可以忽略不計,但如果一樣的感測器用在T-50上,就會限制T-50的RCS怎麼樣都無法低於0.01平方米。

不過就如同光電感測器,大氣數據感測器也是有機會隱藏的,例如F-22的外觀就看不到大氣數據感測器。此外理論上也可以用吸波塗料降低此處的RCS。

五、表面縫隙

飛機表面縫隙的尺度為毫米級,較常用的探測波段小1個量級以上,影響很小。然而新一代戰機以及空對空飛彈開始引入毫米波段,這時縫隙就落在共振散射區,RCS會在幾何截面積附近,甚至有可能比幾何截面積還大。縫隙的寬度為毫米級(0.001m),機身表面總縫隙長度很容易就超過100m,這樣一來縫隙對毫米波的RCS就在0.1平方米級。真實情況下縫隙超過1mm,總長度超過100m,加上共振散射區的RCS可能比幾何截面積大一個量級以上,因此表面縫隙對毫米波的RCS甚至可能在1平方米級。這也是為什麼毫米波被視為可以反匿蹤的波段之一。

要減少這一部分的RCS,只好靠吸波塗



圖七 Su-35卸除雷達罩後正面特寫,機首周圍有若 干短金屬柱狀物就是其大氣數據感測器。 (資料來源:作者提供)

料。然而由於毫米波段在戰鬥機的運用仍不普遍,因此現代吸波塗料主要是針對X波段,頂多兼顧到L波段,要最新的奈米塗料才勉強放寬到8mm的毫米波段,因此現階段毫米波段的RCS不容易降低。

全機RCS量級下限估計

現在考慮全機RCS下限的量級。表為匿 蹤雙發重型戰機對X、L、毫米波段的RCS下 限的估計值。由於估算時已經假設雷達波以 幾乎45度傾斜照射,因此估計出來的數值約 是正面值,平均值量級則可依據正面值加以 修正(下詳述)。

表中的估算邏輯是

(一)列出各主要回波來源的RCS範圍,取 其最小值,例如無塗料情況下邊緣繞射RCS 範圍10-2~1平方米,就取10-2平方米計。

(二)將各項的最小值加以比較,只取量級最大的,剩下忽略。例如邊緣繞射下限10⁻²平方米,光電球RCS量級0.1平方米,就忽略前者。

(三)承上,如果此一最大量級的項目只有一個,此量級就是全機RCS下限量級,例如在沒有塗料的情況下,光電球的RCS量級最大,為0.1平方米,而且沒有他項與之相當,那全機RCS下限就是0.1平方米。

(四)承(2),如果有此最大量級的項目有若干個,則全機的RCS量級下限可能要加一個量級,例如在最理想的情況下,假設全機RCS只由天線罩「貢獻」,那麼單個天線罩的RCS下限是3×10⁻⁵平方米,但實際上天線罩至少有若干個,因此全機RCS下限至少會大一個量級,在10⁻⁴平方米以上。

每一張表算出的RCS又分三個等級:

(一)只考慮天線罩:天線罩極難使用吸波塗料,因此天線罩貢獻的RCS可視為絕對無法避免的。這裡估計出來的值可視為RCS的最低極限。

(二)考慮天線單與邊緣繞射:假設沒有 光電感測器或是隱藏很好,也假設匿蹤外 型很理想,那麼全機RCS無可避免由邊緣繞 射與天線單貢獻。這裡估計出的值可以視為 F-22這樣沒有光電系統、對匿蹤技術很苛求 的匿蹤戰機的RCS下限。

(三)將光電探測儀、大氣數據感測器等 也算入:現代戰機幾乎都會裝上光電系統以 增加資訊來源與多用途能力,美國F-35、俄 國T-50、中共殲-20皆如是,因此這裡算出來 的可視為符合現代需求的務實型匿蹤戰機的 RCS下限。

另有若干注意事項:

(一)這裡算的都是物理下限,真實情況 很容易比這大一個量級以上。例如在沒有塗料的情況下,光電球RCS量級最大,為0.01~ 0.1平方米,其餘有多項量級是0.01平方米 的,其總合就可能達到0.1平方米級,兩個 0.1平方米級相加就可能接近1平方米級(例如 0.3+0.4=0.7便接近1)。

(二)在每個表中都分別計算沒有塗料、 用塗料降低10倍、用塗料降低100倍的情況。 實際上就算是前文所提的奈米塗料,吸收率 13~18dB,也未必總能降低100倍的RCS。通 常最佳吸收率只會在特定波段,而且應該是 針對目前最主要的X波段,而不是對L、毫米 波。因此除非有確切的塗料數據,否則考慮L 與毫米波段時,可假設吸波塗料最多降低10 倍的RCS。

(三)承上,在考慮X波段時,可以假設有降低100倍RCS的塗料。另一方面可依據飛機問世年代判定塗料種類,例如90年代或以前問世的,可假設只降低10倍,剛問世的可假設降低100倍。

一、裸機正面RCS下限量級估計

表2~4是依據本文計算原則算出的雙發重型戰機對X、L、毫米波段的正面RCS量級。由表可見,對X波段而言,最放寬的情況下RCS的物理下限是10⁻⁴平方米,但更可能在10⁻³平方米。F-22沒有光電探測儀與光電預警系統,故10⁻³平方米可視為F-22這類設計的RCS下限(不論用那一種吸波塗料)。T-50雖

然有光電探測儀等增加RCS的項目,但問世時已是2010年,塗料應該更為精進,因此其RCS下限也有可能在10⁻³平方米級,與F-22相當。但如前所述,這裡有多個同量級項目相加,因此T-50的RCS下限還是可能比F-22大一個量級,在0.01平方米級。實際上的RCS因為一定會有鏡射部分的貢獻,因此極可能比下限大一個量級以上,這樣F-22約是0.01平方米級,T-50可能是0.1平方米級。

如果是單發戰機如F-35,尺寸略小,但量級相同,天線數量也不會比較少,因此RCS與重型匿蹤戰機也會相當。還應注意的是,像F-35這樣的單發戰機,曲面會比較多,例如發動機附近、DSI進氣道鼓包等,這些部位如果沒處理好可能會是明顯的L波段反射源,不過精確估計已超出本文範圍,故不

進一步討論,只要知道單發戰機匿蹤能力不一定比雙發戰機好即可。

比對表一中的F-22的正面RCS值為10⁻⁴~2×10⁻⁴平方米,與本文僅考慮天線單貢獻時求出的範圍相當,已是物理極限。由於是物理極限,所以不能排除可能性,但極難達到,就算能達到應該僅成立於很窄的範圍。當F-22對上傳統戰機的場合,理論上總能先發現對手,這時就能以最低RCS方向逼近對手,這時對該對手而言,10⁻⁴平方米或許有意義。然而在多機戰場、F-22深入敵方防空縱深、以及遇上探測能力很強的對手時,F-22就可能無保證以最低RCS面對對手,這時10⁻⁴平方米幾乎失去意義。

二、RCS極大值的量級與意義

須注意的是,以上估計是指正面,是相

先天量級 吸波塗料 吸波塗料 可否排除 (無吸波材料) (降低100倍) (降低10倍) $3\times10^{-5}\sim3\times10^{-3}$ **塗料會吸收自己的工作波段**,故不考慮 天線罩(每個) 否 總合物理下限 $>10^{-4}$ (考慮多個天線罩) $10^{-2} \sim 1$ $10^{-3} \sim 10^{-1}$ $10^{-4} \sim 10^{-2}$ 邊緣繞射(全機) 否 10^{-2} 10^{-3} 10-4(更可能10-3) 1~2加總之物理下限 光電預警器(每個) $3 \times 10^{-5} \sim 3 \times 10^{-3}$ $3\times10^{-6}\sim3\times10^{-4}$ $3\times10^{-7}\sim3\times10^{-5}$ 口 $10^{-2} \sim 10^{-1}$ $10^{-3} \sim 10^{-2}$ $10^{-4} \sim 10^{-3}$ 光電球(每個) 可 5 大氣數據感測器(每個) $10^{-2} \sim 10^{-1}$ $10^{-3} \sim 10^{-2}$ $10^{-4} \sim 10^{-3}$ 可 10^{-2} 1~5加總後的物理下限 10^{-1} 10-3(更可能10-2)

表二 雙發重戰機對X波段雷達的RCS物理下限估計表

(資料來源:作者自製)

表三 雙發重戰機對L波段雷達的RCS物理下限估計表

We Sar Made Care attook - I will the					
		先天量級 (無吸波材料)	吸波塗料 (降低10倍)	吸波塗料 (降低100倍)	可否 排除
1	天線罩(每個)	3×10 ⁻⁴ ~3×10 ⁻⁴		否	
	總合物理下限 (考慮多個天線罩)	>10 ⁻³			
2	邊緣繞射(全機)	10-3~10	10-2~1	10 ⁻³ ~10 ⁻¹	否
	1~2加總 之物理下限	10-1	10-2	10-3	
有機會排除項(估計更真實的極限值)					
3	光電預警器(每個)	略			可
4	光電球(每個)	10 ⁻² ~10 ⁻¹	10 ⁻³ ~10 ⁻²	10 ⁻⁴ ~10 ⁻³	可
5	大氣數據感測器(每個)	略			可
	1~5加總後的物理下限	1	10-1	10-2	

(資料來源:作者自製)

表四 雙發重戰機對毫米波段雷達的RCS物理下限估計表

		先天量級 (無吸波材料)	吸波塗料 (降低10倍)	吸波塗料 (降低100倍)	可否 排除		
1	天線罩(每個)	3×10 ⁻⁶ ~3×10 ⁻⁴	塗料會吸收自己的工作波段,故不考慮		否		
	總合物理下限 (考慮多個天線罩)	>10 ⁻⁵					
2	邊緣繞射(全機)	10 ⁻³ ~10 ⁻¹	10 ⁻³ ∼10 ⁻¹	10-4~10-2	否		
3	縫隙繞射(全機)	1	10-1	10-2			
	1~3加總之物理下限	1	10-1	10-2			
	有機會排除項(估計更真實的極限值)						
4	光電預警器(每個)	3×10 ⁻⁶ ~3×10 ⁻⁴	3×10 ⁻⁷ ~3×10 ⁻⁵	3×10 ⁻⁸ ~3×10 ⁻⁶	可		
5	光電球(每個)	10 ⁻² ~10 ⁻¹	10 ⁻³ ~10 ⁻²	10 ⁻⁴ ~10 ⁻³	可		
6	大氣數據感測器(每個)	10 ⁻² ~10 ⁻¹	10 ⁻³ ~10 ⁻²	10 ⁻⁴ ~10 ⁻³	可		
	1~6加總後的物理下限	1	10-1	10-2			

(資料來源:作者自製)

當有利於匿蹤戰機的假設。如果是正對著特定邊緣方向,例如主翼前緣方向,匿蹤戰機的RCS會出現極大值,在這些方向上匿蹤戰機與傳統戰機万有優劣:

(一)匿蹤外型之所以有效,就是因為回波不像傳統戰機那樣四散,而是集中在特定方向。例如如果所有的面都與後掠角45度的主翼前緣平行,那麼就會將來自正前方的雷達波反射到90度角的方向,有效反射信號非常小,但如果雷達正對著主翼前緣,那剛好所有主要部分的回波都直接回到雷達的方向,連前面假設可以不計的鏡射RCS此時勢必會很顯著。越理想的匿蹤外型在極值方向的RCS通常會越顯著。因此RCS極值有可能非常大。所以若不考慮吸波塗料與材料,則匿蹤戰機的RCS極值有可能超越傳統戰機。

(二)匿蹤戰機的天線、座艙等處的隱匿措施與外型無直接關係,所以在RCS極值方向仍有作用,這是「消」的部分。不過因為極值RCS多是由鏡射所貢獻,因此在極值方向匿蹤戰機類似傳統戰機,天線等處所貢獻的RCS仍算少部分,因此如不考慮吸波塗料,而僅考慮匿蹤座艙蓋與天線,則RCS量級與沒有特殊處理時相當。例如Su-27的各方向RCS約15平方米,主雷達天線最多貢獻若干平方米,因此就算用匿蹤技術使天線的RCS降到0,RCS仍有10平方米左右,量級與15平方米一樣。

(三)匿蹤戰機的塗料在極值方向當然有效,所以又可以降低10~100倍的RCS,這也是「消」的部分。

因此在消長之下,匿蹤戰機極值RCS不

無可能比傳統戰機小,但就算是,量級也相 當,此時不管是匿蹤戰機還是傳統戰機,匿 蹤能力主要都是由吸波塗料所貢獻。前面估 計的RCS其實是前緣、天線置等對來自正面 的雷達波的RCS值,在極值方向,這些部位 的RCS值至少必須放大至少1個量級(10倍), 甚至有可能因為共振的關係而放大2~3個量 級,例如曲率半徑與波長相當的圓柱的RCS-方位關係圖可以看出,正對著圓柱側面(相 當於正對翼前緣)的RCS高達幾何截面積的50 倍,為45度角入射時的RCS的500倍!經過這 樣修正之後,就算正面RCS為0.001~0.0001 平方米,在極值方向也可能放大到0.5~0.05 平方米。加上此時必然會有鏡射RCS,其量 級大約要以飛機的幾何截面積為基礎加以修 正。重型戰機的幾何截面積約有100平方米, 考慮塗料的影響,可降1~2個量級,為1~10 平方米,如果再考慮實際上不會所有部分都 貢獻顯著的RCS,也許可以再降低幾倍,那 也有0.1~1平方米級。由此可以得到粗略的 結論:屠蹤戰機的RCS極值非常可能放大到 0.1~1平方米以上,與傳統戰機使用吸波塗 料後量級相當。

匿蹤戰機的RCS極值就算會跟傳統戰機相當,也集中在很窄的範圍,再加上作戰時交戰雙方不斷運動,使得極值方向就算曝露也只是短時間,其實不易捕獲,更難追蹤。因此在考慮戰機對抗或是防空系統的防禦能力時,匿蹤戰機的RCS極值不太具參考價值。

然而倒是有機會善用RCS有極值這一特 點,進行反匿蹤防空網的部署。只要兩個防 空雷達相隔適當的距離而可以彼此掩護,那麼就可能讓匿蹤戰機為了不曝露RCS極值,而以平均RCS面對這兩個雷達,這等於用部署方式強制讓匿蹤戰機無法發揮最佳匿蹤性能。關於反匿蹤部署方式,會另以專文討論。

三、極值以外的RCS平均值

而如果不考慮極值方向,則為了估計下限,還是先僅考慮鏡射以外的RCS值在大約0~90度的平均,那麼大約是數十甚至上百倍的正面RCS值。由於實際上多少仍有鏡射RCS值,因此「不考慮極值方向的RCS平均」可考慮為正面RCS的數十倍,以量級論是10~100倍。

簡單的說,對理想匿蹤戰機而言,較可能的正面RCS值約是正面RCS下限值的10倍,有參考價值的平均RCS(不考慮極值的平均值)約是下限值的數十倍,RCS極值則是正面下限值的100倍以上甚至與傳統戰機相當。據本文分析,各種常用的RCS與正面下限值的概略換算關係整理如表五。

需注意的是,這裡提到的換算關係都是 考慮到「方向」對RCS的影響,也就是只適 用於RCS對方向很敏感的情況,也就是理想 的匿蹤戰機。對於外型設計上沒有那麼嚴格的匿蹤戰機,RCS的下限被某些沒有匿蹤外形的物體所制約,那表五的換算關係就不適用。例如由表二可見,當飛機上有光電球或外露的大氣數據感測器時,飛機的RCS下限量級就與這些部位相同,而這些部件的RCS與方向幾乎無關,這樣一來,隨著角度變化,RCS增加幅度就不會像理想匿蹤戰機那麼明顯。如果說理想匿蹤戰機的RCS可以修正成正面最小值的100倍,那麼有有光電球等設備的匿蹤戰機的修正幅度大約只有10倍,詳見下文討論。

四、考慮外掛物

以上討論的都是無外掛的情況,適用於有內彈艙設計的匿蹤戰機。但除了一開始就有匿蹤設計的新型飛機外,許多4+代戰機也引入匿蹤設計,例如EF-2000、Rafale均號稱也有匿蹤能力,而美國在2010年以後陸續推出的F-15SE與F/A-18E/F International方案甚至進一步引入外掛彈艙設計。這些改良型戰機真的可以達到號稱的匿蹤能力嗎?F-15SE與「國際大黃峰」會因為出自匿蹤老手美國而有什麼不得了的匿蹤能力嗎?

戰機想要有戰鬥力,就必須攜帶武器。

表五 理想匿蹤戰機各種常用的RCS與正面下限值的概略換算關係

	正面		不考慮極值的平均值	極值方向	
	下限(無鏡射)	較可能(考慮鏡射)	不考慮鏡射		
RCS值	取表1~4數據 設為A	10A	10∼100A	>100A 更可能在0.1~1平方米以上	
X波段計算例(平方米)					
F-22	0.0001~0.001	0.001~0.01	0.01~0.1	0.1~1以上	

(資料來源:作者自製)

空對空飛彈是空用武器中尺寸較小的。以俄 製R-77中程空對空飛彈來看,其彈身是口徑 0.2m, 長3.6m的圓柱, 其側面的幾何截面積 約是0.7平方米,實際上還有彈翼,因此幾 何截面積級數可考慮為1平方米。考慮敵方 以45度傾斜角度偵測,RCS可能降低10倍以 上,變成0.1平方米或更低,如果噴上吸波塗 料,可望再降低1~2個量級,也就是最低可 以到0.01甚至0.001平方米。如果以更大的傾 斜角照射,彈身與彈翼造成的RCS當然會更 低,但就像圓柱RCS-方位關係圖一樣,這時 導引頭的貢獻出現。雷達罩必須透波,導引 頭當然也是良好反射體,其幾何截面積大約 是0.01平方米,但天線的RCS通常比幾何截 面積更大。換言之,不論從哪個角度看、不 論飛彈本身有沒有匿蹤設計,空對空飛彈的 RCS量級一定在0.01平方米以上,相當於理想 匿蹤戰機的全機RCS。而且為了掛載武器, 需要掛架,掛架本身也相當於外掛物,而且 掛架與機翼、機身之間幾乎必然會有90度交 角,這都會帶來其他的RCS。

因此,只要戰機要外掛武器作戰,則不 論其機身設計多好,其RCS下限就是0.01平方 米的倍數,若干枚武器加在一起再加上掛架 的貢獻,RCS就會超過0.1平方米,這對傳統 戰機來說也算是匿蹤,但在若干新型雷達面 前這只能算低可視度。有資料指出EF-2000的 RCS在0.05~0.25平方米¹¹,那種小於0.1平方 米的數值只可能是無外掛的情況,實戰意義 不大。 由此也可以發現一個經驗規律:需要外 掛武器作戰的飛機,RCS就不可能低於0.1平 方米,就算能,也是不具實戰意義的狀態。

為了解決外掛武器破壞匿蹤的問題,可以採用外掛彈艙。外掛彈艙是一個大型的外掛物,本身考慮匿蹤設計,然後將武器安置於其內。例如美國F-15SE就是將F-15E的適形油箱改成彈艙,而「國際版F/A-18E/F」則是在機腹中線掛一個有匿蹤外型、看似副油箱或大型莢艙的外掛彈艙。外掛彈艙可以採用匿蹤設計,而且不需要透波,因此有機會突破空對空飛彈導引頭構成的RCS下限,使得採用外掛彈艙設計的飛機的RCS有機會降到0.1平方米以下。

至於外掛彈艙能降低多少RCS,還是要 看具體設計。例如F-15SE的彈艙就是F-15E適 形油箱改來的,他是安裝在機翼與進氣道交 角處,安裝之後本身與機翼也有近90交角, 因此其RCS或許比直接外掛的武器小,但本 身的RCS也不會太小。「國際F/A-18E/F」的 彈艙則有稜角設計,雖然體型不小,RCS卻 有可能比飛彈還小。其透過掛架安裝在機腹 中線,使得在機腹、掛架、莢艙之間有縫隙 以及若干正交角,若該處沒處理好可能會破 壞匿蹤效果,但由於彈艙與機腹非常貼近, 因此問題不一定會太大。F/A-18E/F外型上比 F-15更符合匿蹤原則,加上外掛彈艙又有明 顯匿蹤外型,因此「國際大黃峰」的匿蹤能 力應該會優於F-15SE。關於這類傳統戰機匿 蹤大改方案的RCS下限,詳見稍後討論。

11 http://typhoon.starstreak.net/forum/viewtopic.php?f=1&t=1171

五、不同國情不同標準?

以上由物理基礎出發,雖然不能精確的 算出飛機的RCS值,但已可界定出物理極限 的範圍。從中也可以知道,不論是T-50總設 計師所說的F-22的RCS為0.3~0.4平方米,還 是美國空軍公布的0.0001~0.0002平方米,都 是可能的數據,只是條件不同罷了。

很有趣的是,從美俄公布的RCS數據,可以看出雙方態度上的差異:俄國所公布的大都是0.1平方米以上,所以看起來匿蹤戰機倒不難反制,而美國公布的是小1000倍的數據,則顯得匿蹤戰機無可擊敗。

為何差異那麼大?也許有人會認為,俄國是匿蹤科技不如美國,所以故意挑平均值來看,這樣雙方差距就沒那麼大。如果用軍火商想打廣告的角度來看,這或許有道理,但這些裝備也是俄軍自己在裝備的,俄軍也不是笨蛋,不可能無道理的直接買軍火商的單,反而俄系裝備通常都是參考軍方的使用需求,以及各研究院針對戰爭形態所做的量化研究,而制定規格的,不可能由軍火商片面的發展然後直接投入使用。

如果從國情出發,就會發現美俄對匿蹤 戰機RCS值的態度其實各有道理。美國本土 相對安全,加上已做了全球佈局,所以空軍 會以境外部署、境外作戰的攻勢模式,來維 護美國利益與安全,所以針對特定範圍有極 低的RCS以大幅增加作戰成功率,就很有價 值。例如F-22也許無法對每一個防空系統都 隱形,但也許可以針對少數幾個實施「點穴 式」攻擊,打出防空缺口,以利後續攻勢行 動。

而俄羅斯地體條件相對較差,所以其防 空部隊與航空兵發展成以守勢為主。俄羅斯 有不小的領土難以部署防空飛彈與雷達,僅 能依靠MiG-31一型飛機來防守,由此便可窺 見俄羅斯空防的吃緊程度。以守勢來說,只 要平均起來能發現F-22,那麼F-22就算能點 穴式的打開防空缺口,他還是可能被擊毀。 此外,匿蹤戰機如果要有極佳的隱匿性,火 力會有所限制、通信也會有限制,結果就是 也許有奇襲能力,但是破壞規模不會太大, 所以「平均起來」匿蹤戰機的威脅是可以被 抵消的。這裡已經有點「同歸於盡」的味 道,也就是「可能被打傷,但是贏的機率 高」。俄國因為地理條件的關係,自古以來 都難以維持絕對安全的國土,而是「先被打 傷,最後打贏」,因此「會受傷,但平均起 來會贏工對俄國甚至其它地理條件不優渥的 國家來說已經算有效。

進一步考慮鏡射RCS的量級

前面為了估算匿蹤戰機RCS的下限,我們先把最難掌握的鏡射部分剔除,假設為0,僅計算繞射等與形狀無關的回波,估計出來的可視為物理下限,據此已經掌握不同類型匿蹤戰機的匿蹤能力量級。如果要更逼近真實,當然要考慮鏡射RCS,在前面的計算我們很概略的說「如果要進一步考慮鏡射,可以再放大一個量級」。事實上各種回波現象造成的RCS大約是相加成關係,而非乘積關係,之所以概略的說考慮鏡射要放大一個量級,是基於以下假設:

(一)假設鏡射RCS實際上不可能遠小於其

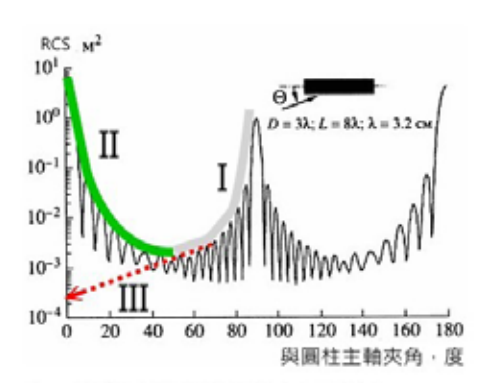
他部分的RCS和,畢竟鏡射RCS來自物體表面的反射,物體越大,反射源當然越多;

- (二)假設鏡射RCS可以降低到與其他RCS 總合相當;
- (三)如前文所述,兩個量級相當的數字 相加可以考慮為放大一個量級,例如0.3與0.4 量級分別是0.1,但加起來是0.7也可視為1。

如果鏡射RCS實際上量級比其他部分的RCS和還要小,以上說的就不成立,反之,如果鏡射RCS實際量級較大,那麼總RCS仍舊約是鏡射RCS。在這種情況下把鏡射RCS視為其他部分的總合的10倍也已經算很低了,因此在粗略的估計上,將考慮鏡射以後的總RCS視為鏡射以外RCS總和的10倍有其合理性。以下要進一步界定鏡射RCS的量級,以便更精確的找出匿蹤戰機的RCS量級。

一、正面鏡射RCS量級下限估計

不妨對鏡射RCS作個物理量分析。在圖示的曲率半徑與波長相當的圓柱RCS-方位圖中(圖八),圓柱側面的RCS約為幾何截面積的50倍,45度角入射時RCS為幾何截面積的1/10倍,為側面RCS的1/500倍。該實驗所用的圓柱的曲率半徑與尺寸均與波長相當,因此會出現RCS比幾何截面積大很多的共振現象,在估算邊緣繞射RCS時必須考慮此一因素,因此45度入射時的RCS便以幾何截面積的1/10計算。然而現在要考慮的是繞射以外的部位的RCS,所以不需要考慮共振放大現象,那麼該RCS-方位圖的意義在於「45度入射時RCS會是正面入射時的1/500」,而在沒有共振效應的情況下,圓柱側面的RCS量級



I: RCS隨傾斜角增大而減小

Ⅱ:因有限長度圓柱頂面影響使RCS增大

III: 依據I區的趨勢外推,可推估角度 (形狀)的影響最多可使RCS降低4個量級

從有限長度圓柱的 RCS-方位 關係 實驗結果推估匿蹤外型的極限性能

> 圖八 匿蹤外型極限性能推估 (資料來源:VRAN)

應與幾何截面積相當。

因此飛機的鏡射RCS大約可由幾何截面 積為基礎加以修正。例如雙發重型戰機的幾 何截面積約為100平方米,在沒有匿蹤措施 時,Su-35在80~100度方向,RCS超過40平 方米,與幾何截面積快要同量級(圖一),這 是因為側面時,Su-35的垂直尾翼、進氣道壁 等處會正向反射,因此RCS幾乎是幾何截面 積,而在0~80度的RCS在20~30平方米以 及10平方米之間跳動,平均約15平方米,較 幾何截面積小一個量級,這是因為這些時候 雷達波大都是傾斜照射飛機表面,因此有了 「形狀匿蹤」的效果,因此RCS較幾何截面 積小一個量級。由此可見由幾何截面積為基 礎,加以修正以估計鏡射RCS的量級是可行 的。

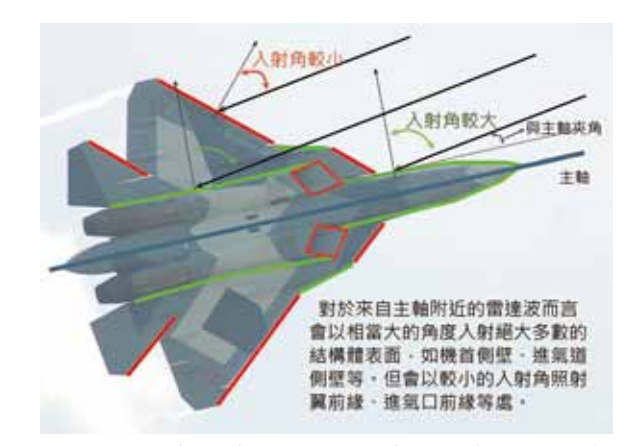
在圓柱的RCS-方位關係途中,以正對

著圓柱側面的方向為0度,則在45度方向時 RCS是0度的約1/1000倍(1/500)。 紹過45度時 RCS會增大是因為圖示為有限長度圓柱,因 此大角度時出現圓柱頂面正反射等效應的影 響。如果是無限長圓柱,那麼理論上角度越 大RCS會越小。如果由圖中的曲線外推,則 接近90度時, RCS約會降到0度的1/10,000倍 (圖八),也就是降低約4個量級。由此大約可 推估, 匿蹤外型的物理極限約是降低4個量級 的RCS,如果使用吸波塗料降低10或100倍的 回波,則鏡射RCS極限是降低5~6個量級, 如果幾何截面積是100平方米,那麼鏡射RCS 的下限就是10⁻⁴~×10⁻³平方米。這的確是比 光電球、前翼等部位的RCS小得多,但卻與 繞射、匿蹤天線等無可避免的部分的總和相 當。

因此在最放寬的條件下,當其他部分的RCS總和量級大於10⁻⁴~×10⁻³平方米時,不考慮鏡射RCS倒無妨,但當其他部分的總和相當於甚至低於上述範圍時,就必須考慮之。由於前面估計中,最理想情況下鏡射以外的部分的正面RCS總和下限就是10⁻⁴~×10⁻³平方米,因此將之乘以若干倍來當做更逼真的RCS下限較為合理。因此更逼真的正面的RCS物理極限應是0.001平方米。

二、非極值方向鏡射RCS平均量級

戰機正面最主要的幾乎正向的反射源 是動力系統、雷達天線、座艙。在匿蹤戰機 中,如果能妥善隱藏這些部位,那麼除了與 主翼前緣平行的邊緣會以大約40~50度對著 來自正面的雷達外,絕大多數表面,如主翼 上下表面、進氣道壁、機身側壁等,幾乎



圖九 絕大多數表面,如主翼上下表面、進氣道 壁、機身側壁等,幾乎都是與雷達波夾超大 角度。

(資料來源:www.sukhoi.org)

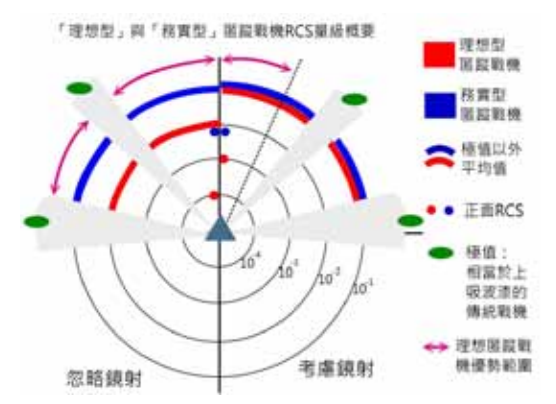
都是與雷達波夾超大角度(圖九),因此正面的鏡射RCS或許真能降到下限值。但在0~40度,尚未出現極值的鏡射RCS平均約是最小值的若干倍,因此平均而言,形狀能降低的RCS幅度不是4個量級而是3個量級,考慮塗料則是4~5個量級。這樣一來不考慮極值方向的鏡射RCS平均大約是0.01~0.001平方米。

三、總RCS量級修正

參考表二估計出的不考慮鏡射時的正面 RCS下限,可發現考慮鏡射RCS後,理想的 匿蹤戰機與功能更複雜的匿蹤戰機的RCS下 限分別要修正為(圖十):

(一)理想匿蹤戰機(不考慮光電探測器、 大氣數據感測器)的正面RCS本來主要來自天 線與邊緣繞射,其量級下限都是10⁻⁴平方米, 若考慮正面鏡射RCS下限量級為10⁻⁴~×10⁻³平 方米,則總RCS正面下限幾乎確定是10⁻³平方 米級。

(二)對於有光電感測器等設備的「務實



圖十 「理想型」與「務實型」匿蹤戰機RCS量級 概要 (資料來源:作者自製)

型」匿蹤戰機,在不考慮鏡射時的正面RCS 下限量級是10⁻³~×10⁻²平方米,而且更可能是 10⁻²平方米,因此考慮10⁻⁴~×10⁻³平方米的鏡 射部分後,正面量級仍是10⁻²平方米。

(三)理想匿蹤戰機的鏡射、繞射、天線 等部位的RCS都與方向有關,因此極值以外 方向的平均值、極值可比照表五,分別修正 為正面值的10~100倍與100倍。

(四)承上,以0~40度內的RCS平均值 為例,鏡射RCS會是正面值的若干倍(<10 倍),繞射RCS則會修正成正面的數十倍,因 此RCS總和平均值會由鏡射以外的部分所決 定,也就是正面值的數十倍(10~100倍)。

(五)「務實型」匿蹤戰機的RCS可能受到光電球、大氣感測器等部位的制約,這些部位的RCS幾乎無方向性,因此極值以外的平均值會與正面值相當,差距應在1個量級以內。例如在0~40度的平均,光電球等處的RCS與正面差不多,而鏡射RCS則是正面的若干倍,因此如果正面鏡射RCS量級比光電球等處還小,RCS就會被光電球制約,而幾

乎沒有方向性,反之若正面鏡射RCS量級大於或等於光電球等部位,則平均RCS會是正面值的1~10倍。因此前面才說對於非裡想匿蹤戰機而言,極值方向以外的RCS平均大約是正面值的10倍。

依據這裡的修正,則F-22的正面RCS 下限應為0.001平方米,是美國空軍公布的 0.0001~0.0002平方米的5~10倍。就量級而 言這並沒有衝突,因為本文考慮的其實是小 角度範圍內的平均,而不管從圓柱的RCS-方 位圖還是真實飛機的RCS-方位圖可看出, RCS在小角度內其實會有很劇烈的跳動。因 此也不能排除美軍公開的是最小值。此外, 本文考慮的塗料最佳的是吸收99%的塗料, 如果實務上想加強正面的匿蹤能力,將正面 的局部表面塗上更厚的塗料,就可能讓鏡 射RCS量級進一步降低,那就可能只保留不 可避免的天線罩部分,使得RCS降到物理下 限。

如果F-22這類「理想型」匿蹤戰機的正面RCS下限是0.001平方米,那麼極值以外的RCS平均應在0.01~0.1平方米。而T-50這類有光電球等設備的「務實型」匿蹤戰機的正面RCS下限是0.01平方米,極值以外的RCS平均約是0.1平方米。也就是T-50的最小RCS難以與F-22相比,但RCS與方向的分佈會較為「均匀」,使得在考慮較大範圍的平均RCS時,兩者的RCS反而可能相當,這可能就是為什麼俄國設計師會指出「F-22是0.3~0.4平方米,T-50與之相當」。

至此,本文首先剔除對形狀最敏感的鏡射RCS,計算其他部位的RCS總和以估計匿

蹤戰機正面RCS量級下限,並以此下限值為基礎修正出極值以外的RCS平均量級、極值量級等,並考慮裸機與有外掛的狀況。之後再進一步估計鏡射RCS的量級以進一步逼近真實量級。為了方便讀者理解,這裡進一步將本文的計算流程圖整理如(圖十一)以供參考。此外,不同方向的雷達波對表面的概略入射角的取用依據簡要如(圖十二)。

若干具體型號試算

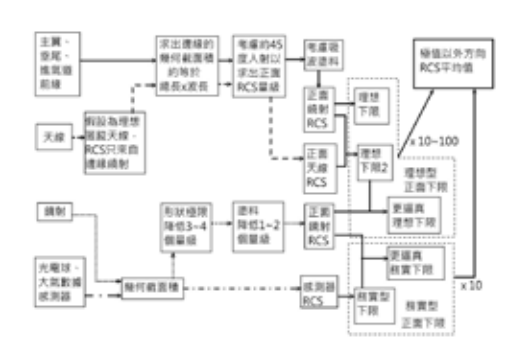
以上考慮的是「理想匿蹤外型」、「理 想匿蹤外型+大量感測器+光電感測器」、以 及「普通飛機+外掛匿蹤莢艙」的RCS物理下 限(正面、極值以外平均)。現在進一步考慮 若干具體型號。

→ · F-22

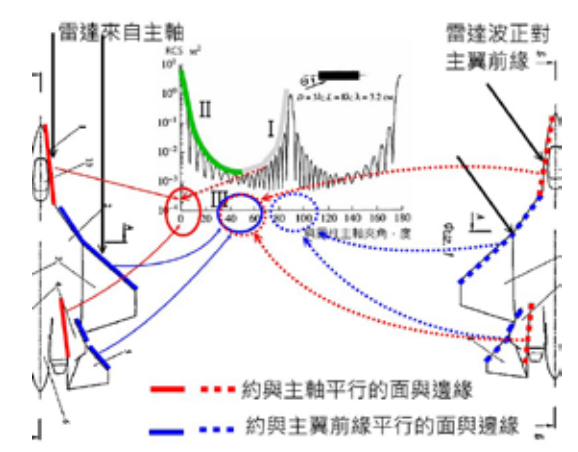
F-22沒有光電球、光電感測器、也幾乎 見不到外露的感測器,是目前的第五代戰機 中匿蹤設計最嚴格者,本文的「理想匿蹤戰 機」就是以F-22為參考,在此不贅述。

二、T-50

T-50大約就是本文所說的「務實型匿蹤 戰機」,RCS量級可參考內文,現進一步考 慮其他特徵。現有的T-50(T-50-1~T-50-5)的 發動機艙外觀呈圓桶狀(圖十三),而且露出 金屬原色,有略小於1/2外露於飛機的下半 球,並有極小部分露在上半球,其中上半球 的外露部分很小,加上有垂尾屏蔽,為了簡 單暫且忽略。露在下半球的發動機艙在側面 90度造成的RCS約是其幾何截面積,約2平方



圖十一 本文估計RCS量級流程圖 (資料來源:作者自製)



圖十二 量級分析時,不同方向的雷達波對表面的 概略入射角取用依據 (資料來源:作者自製)

米(口徑約1m,長度約4m,假設一半外露), 在正對著主翼前緣的方向,大約降500倍, 在0.004平方米,量級小於其他部分,因此 不構成影響。唯在90度附近會有至少2平方 米的RCS,相當於傳統戰機。由此可見雖然 T-50的發動機艙可能導致側面的匿蹤設計形 同虛設,但至少對著前半球高威脅區域會有 0.01~0.1平方米級的RCS。

印度在2010年報導表示T-50的RCS是0.5平方米,為Su-30MKI的 $1/40^{12}$;而蘇霍伊公

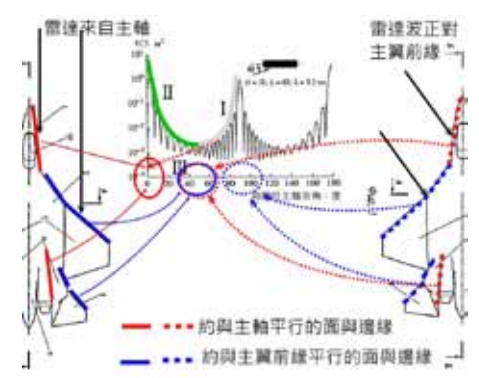
12 《India, Russia close to PACT on next generation fighter》, Business Standard, New Delhi?January 05, 2010.

司一份關於T-50匿蹤設計的專利說明書也提到,在某些考慮的角度範圍內,Su-27的平均RCS是10~15平方米,而透過這一系列匿蹤措施後,T-50的RCS降至0.1~1平方米¹³。由此可見印度所表示的應該也是平均值。整合這些資料以及物理極限的估計可知,T-50扣除RCS極值方位的平均RCS是0.1~1平方米級,這應該無太大疑義。而正面小範圍應可低於0.1平方米,下限約0.01平方米。

三、F-35

與T-50比對,F-35也有不少光電窗口與 大量感測器,因此RCS應該與T-50同級,只 是因為F-35體型小所以會略小。F-35尾部僅 上表面與下表面稍微露出圓桶狀的發動機艙 外圍,發動機艙對匿蹤性能的破壞程度比較 小,因此F-35的RCS應會介於F-22與T-50之 間。美國空軍公布的0.0015平方米應該是窄 範圍特例。甚至有部分資料指出,F-35最小 RCS甚至低於F-22,只是取平均會比較大¹⁴。 四、F-15SE、國際版F/A-18E/F、Rafale、EF-2000

至於其他改良型戰機,基本上不可能優於全新設計的T-50,所以如果考慮更多真實因素後T-50的平均RCS是0.1平方米級,EF-2000、Rafale、F-15SE、F/A-18E/F



圖十三 表演後降落的T-50-2,可清楚見到期發動機 艙的圓桶狀外觀。

(資料來源:作者自製)

International應不可能低於此。或是說只有在 更窄的角度範圍的平均才可能低於此。

若干公開的資訊有助於吾人估計這類「傳統戰機匿蹤改良」後的RCS量級。首先Su-27、F-15這類雙發戰機的RCS約是12~20平方米基本上已無爭議。而根據俄國資料,發動機正面結構與進氣道的RCS占正面RCS的約60%¹⁵,雷達天線的RCS是幾何截面積的若干倍¹⁶,也就是若干平方米。可見如果正面RCS是12~20平方米,則發動機葉片RCS約7~12平方米,雷達天線若干平方米,其餘部位總和約5平方米。

誇張的假設雷達天線加以隱蔽至0,則動力系統以外的正面RCS約5平方米,使用塗料降低10或100倍後可到0.5或0.05平方米。動力

^{13 《}Многофункциональный самолет с пониженной радиолокационной заметностью》, RU patent, RU2502643 C2. 27.DEC.2013

¹⁴ D.Jenn, «RCS reduction (chapter 7)», Naval Postgraduate school, Department of Electrical & Computer Engineering, Fall 2011. http://faculty.nps.edu/jenn/EC4630/RCSredux.pdf

^{15 《}Многофункциональный самолет с пониженной радиолокационной заметностью》, RU patent, RU2502643 C2, 27.DEC.2013

¹⁶ А.Н. Лагарьков, М.А. Погосян, 《ФУНДАМЕНТАЛЬНЫЕ И ПРИКЛАДНЫЕ ПРОБЛЕМЫ СТЕЛС-ТЕХНОЛОГИЙ》, ВЕСТНИК РОССИЙСКОЙ АКАДЕМИИ НАУК, том 73, № 9, с. 848 (2003)

軍事科技 ||||||

系統的部分,Su-35並沒有使用遮罩,僅在進氣道壁與葉片使用吸波塗料的情況下,約可使動力系統的RCS降低10倍¹⁷,即約0.7~1.2平方米。這樣一來,在機身使用吸收率90%塗料的情況下Su-35的正面RCS可降到1.2~1.7平方米,如果機身吸波塗料吸收率99%,則正面RCS降到0.7~1.2平方米。根據航展公布的數據,Su-35的一系列匿蹤措施使RCS降低5~6倍,換算約2~4平方米,與這裡估計的量級接近。

F-15SE與國際F/A-18E/F應有使用發動機遮罩,遮罩本身的RCS比發動機葉片小很多,加上用於遮罩的塗料可不考慮高應力,故可用更好的塗料,不難讓正面RCS降低2個量級以上,這樣一來其動力系統貢獻的RCS可降到0.07~0.12平方米以下。在機身使用吸收率90%與99%塗料的情況下,全機正面RCS約為0.5平方米或0.1~0.2平方米。

五、殲20、殲31

殲20、殲31大量吸收了F-22、F-35的外型設計。殲20的機身橫截面幾乎就是單調的梯形,線條甚至比F-22更單調,這相對容易設計出很低的RCS。而其採用緊靠的發動機與兩側進氣道外加DSI鼓包,讓正面幾乎無法看見發動機。發動機噴嘴雖然是圓形的,但卻被碩大的後機身包覆,使得發動機艙的外圍仍可修飾成有稜角的構型,這點不只優於T-50,甚至優於F-35。

殲20外型上明顯有可能破壞匿蹤的只

有兩點:首先是尾部的圓形噴嘴以及腹鰭, 再來是前翼。其中對作戰比較直接相關的是 影響前半球RCS的前翼。前翼要不斷的活動 來配平,而且與同噸位傳統佈局戰機相比, 前翼面積與力臂通常比平尾小,所以偏轉角 度通常比平尾大,再加上又是大喇喇暴露在 前方,所以被認為是匿蹤大忌,加上前翼的 尺寸與外型通常造成許多尖銳邊緣,有可能 落在共振散射區,而破壞全機的匿蹤效果。 然而這是就嚴格的匿蹤設計而言,實際上前 翼的平面面積不會超過個位數平方米,就算 前翼誇張的偏轉超過45度,RCS的量級還是 比幾何面積小2~3個量級,如果用上吸波塗 料,可以再降1~2個量級,這樣一來前翼貢 獻的鏡射RCS量級非常小,只是邊緣相對較 尖銳,繞射可能更顯著,可以視為在主翼前 面多了一對繞射源,對於想要追求更低的 RCS的F-22來說,這或許破壞匿蹤,但如果 只追求0.01~0.1平方米的RCS,這一點RCS 就不構成威脅,但仍屬於匿蹤戰機,並不會 誇張到「有了前翼飛機就無法屠蹤」。

殲20的機體外型更加簡單又有稜角, 更容易對匿蹤優化,因此殲20有機會做到比 T-50更小的RCS,甚至因為曲線比F-35單調, 所以匿蹤外型甚至有可能勝過F-35。也就是 說,除非有充分的證據,否則萬不能只因為 殲20是「新手作品」就片面認定其匿蹤設計 一定比美製F-35還差。需要追蹤的是其相關 的材料技術,如吸波塗料的性能如何?是否

17 А.Н. Лагарьков, М.А. Погосян, 《ФУНДАМЕНТАЛЬНЫЕ И ПРИКЛАДНЫЕ ПРОБЛЕМЫ СТЕЛС-ТЕХНОЛОГИЙ》, ВЕСТНИК РОССИЙСКОЙ АКАДЕМИИ НАУК, том 73, № 9, с. 848 (2003)

有擋波吸波座艙蓋技術?天線罩是否有選頻或可控透波能力?如果有,那麼殲20的匿蹤能力當能與F-35競爭,如果沒有,那依據俄國至2001年的研究(當時俄國沒有開發選頻天線罩),考慮天線等的影響,有人戰機RCS下限不會低於0.3平方米¹⁸。

至此可以整理出,就不考慮極值的RCS 平均值而論,幾種匿蹤戰機的RCS由大而小可以分為「F-15SE、國際F/A-18E/F」、「T-50、F-35」、F-22等三級,相鄰級數之間RCS差距應不超過1個量級(10倍)。

六、B-2戰略轟炸機

前面主要討論戰術戰機,現在稍微討論 一下B-2轟炸機。根據表1,B-2的RCS與F-22 同為0.0001平方米。就算這是基於不同標 準,但幾合尺寸大好幾倍的戰略轟炸機卻與 戰術戰機有同級的RCS,的確相當驚人。這 種可能性並非沒有,B-2雖然體型更大,但也 因為體型大,所以有機會減少會發生繞射的 部位,使得匿蹤外型更完美,此外轟炸機更 大更重且不講求高機動,也更不需考慮密集 出勤的前線環境,故可以用更好、更多、甚 至更重的匿蹤塗料,所以體型的放大其實被 更精進的匿蹤技術補償了。

具體的說,B-2翼展52.4m,約為雙發重型戰機的3~4倍,因此暴露於正面的前緣尺寸大約也是重戰機的3~4倍,但由於飛機本身很大,可以用更多的大曲率半徑表面來構成前緣,減少繞射,因此繞射RCS應不超過

重戰機的3~4倍,如果再考慮較複雜的匿蹤措施如更多塗料等,繞射RCS也許只與重戰機相當。此外B-2的長度21m,與戰機相當,因此幾合面積其實只大約與翼展成正比,為戰機的5倍以內。但B-2單調的飛翼造型相當容易降低RCS,使得鏡射RCS不難降得比戰術戰機還低。所以從這簡單的數量關係就可以知道,B-2的RCS的確是可能與戰術戰機相當甚至更低。

結 論

由於探測距離與RCS的四次方根成正 比,因此RCS的少量誤差對探距影響不大, 重要的是量級。本文基於圓球與圓柱的RCS-尺寸-波長關係的物理原理,將複雜的飛機 簡化成局部的球面或圓柱面,以估算RCS量 級,基於量級分析,吾人雖然無法精確判定 具體型號的RCS值,但可以大致掌握各主要 成分的RCS量級,掌握了量級,就不會盲目 的追逐不必要的技術,或是盲目的相信宣傳 數據。也有助於理解匿蹤科技該著重在哪 裡?並有助於研究反匿蹤技術與措施。本系 列專文第三篇將詳細討論反匿蹤技術、戰 術、甚至反匿蹤部署。

作者簡介別器

楊政衛先生,國立成功大學物理系學士,俄 羅斯聖彼得堡大學物理系博士生,筆名楊可 夫斯基,爲尖端科技專欄作家。

18 Yefim Gordon, "Sukhoi S-37 and Mikoyan MFI – Russian Fifth-Generation Fighter Technology Demonstrators", Midland Publishing, 2001, p.97